中文版 Method

仅供客户在文章写作时参考,分析内容和方法请以结题报告为 准,请客户自行承担文章查重等相关风险。

1. 实验流程

1.1 基因组DNA提取

土壤、粪便、肠道内容物样品采用磁珠法,对基因组DNA进行提取(土壤和粪便基因组DNA提取试剂盒,目录号: DP712)。其他样品类型采用CTAB方法,对基因组DNA进行提取,之后利用1%琼脂糖凝胶电泳检测DNA的纯度和浓度,取适量的样本DNA于离心管中,使用无菌水稀释样本至1ng/μL。

1.2 PCR产物的获取

引物对应区域:

16S V4区引物(515F和806R): 鉴定细菌多样性

18S V4区引物(528F和706R): 鉴定真核微生物多样性

ITS1区引物(ITS5-1737F和ITS2-2043R): 鉴定真菌多样性

此外, 扩增区域还包括16S V3-V4/16S V4-V5/16S V5-V7; 古菌16S V4-V5/古菌16S V8; 18S V9和ITS2区。

所有 PCR 混合液加入 15μL Phusion® High-Fidelity PCR Master Mix (New England Biolabs)、0.2μM 引物和10ng 基因组DNA模板,在98℃下进行1分钟的第一次变性,然后在98℃(10s)、50℃(30s)和72℃(30s)下进行30次循环,最后在72℃下保持5分钟。

1.3 PCR产物的混样和纯化

PCR产物使用2%浓度的琼脂糖凝胶进行电泳检测;对检测合格的PCR产物进行磁珠纯化,采用酶标定量,根据PCR产物浓度进行等量混样,充分混匀后使用2%的琼脂糖凝胶电泳检测PCR产物,对目的条带使用通用型DNA纯化回收试剂盒(天根,目录号:DP214)回收产物。

1.4 文库构建和上机测序

使用NEB Next® Ultra™ II FS DNA PCR-free Library Prep Kit(NEB/E7430L)建库试剂 盒进行文库构建,构建好的文库经过Qubit和Q-PCR定量,文库合格后,使用NovaSeq 6000 进行PE 250 上机测序。

2. 生物信息分析

2.1 数据质量控制

2.1.1 数据拆分

根据Barcode序列和PCR扩增引物序列从下机数据中拆分出各样本数据。

2.1.2 双端数据拼接

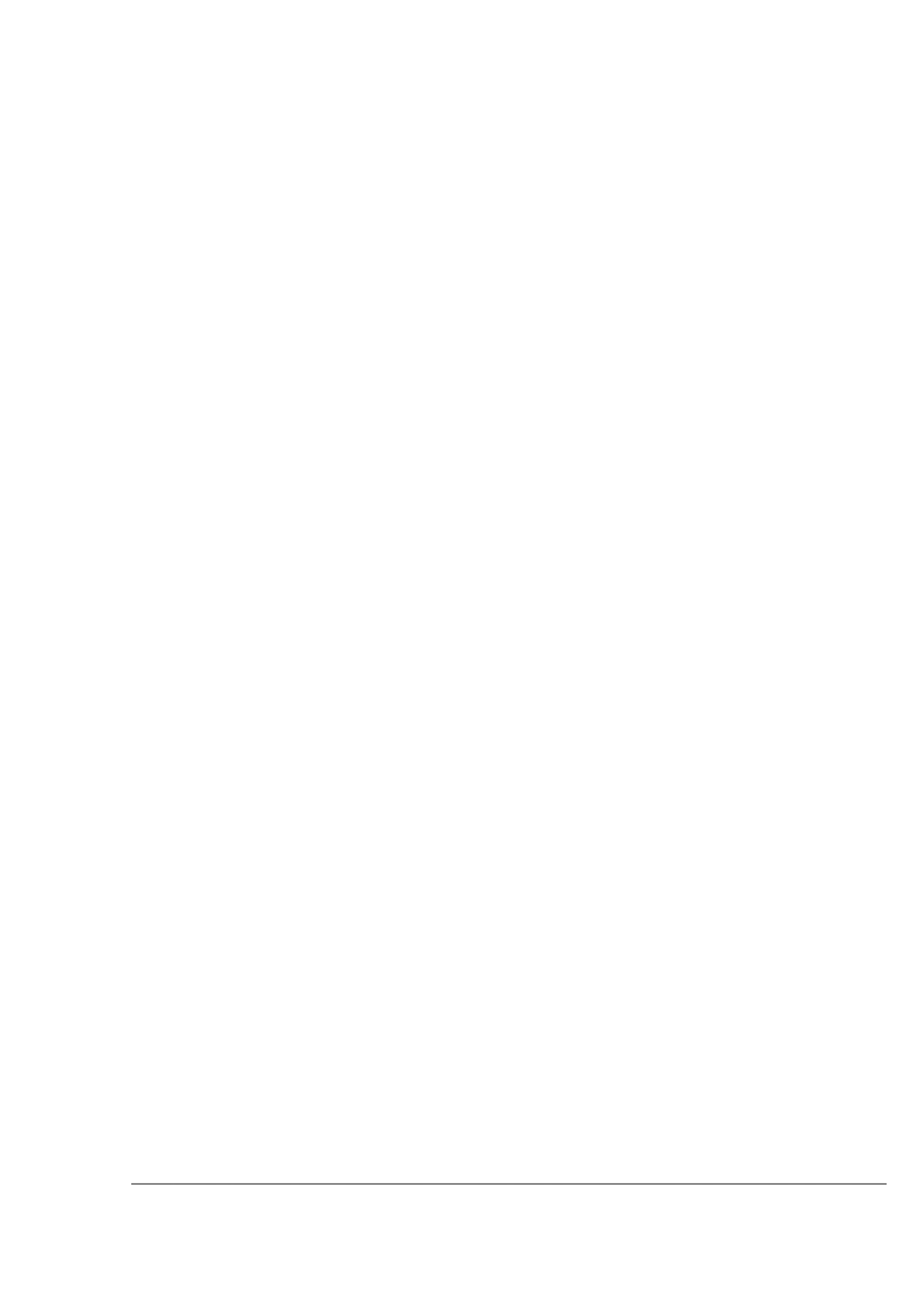
截 去 Barcode 和 引 物 序 列 后 使 用 FLASH (Version 1.2.11 , http://ccb.jhu.edu/software/FLAS H/)) (Magoc T et al.,2011) ,对每个样本的reads进行拼接,得到的拼接序列为原始Tags数据(Raw Tags)。

2.1.3 数据质控

使用fastp软件 (Version 0.23.1)对拼接得到的Raw Tags经过严格的过滤处理得到高质量的Tags数据(Clean Tags)(Bokulich NA et al.,2012)。

2.1.4 去除嵌合体

经过以上处理后得到的Tags需要进行去除嵌合体序列的处理,Tags序列通过与物种注释数据库(Silva database https://www.arb-silva.de/ for 16S/18S,Unite database https://unite.ut.ee/ for ITS) 进行比对检测嵌合体序列,并最终去除其中的嵌合体序列,得到最终的有效数据(Effective Tags)(Edgar RC et al.,2011)。



3. Reference

Bokulich NA, Subramanian S, Faith JJ, et al. Quality-filtering vastly improves diversity estimates from Illumina amplicon sequencing. Nature Methods. 2012;10(1):57-59. doi:10.1038/nmeth.2276.

Edgar RC, Haas BJ, Clemente JC, Quince C, Knight R. UCHIME improves sensitivity and speed of chimera detection. Bioinformatics. 2011;27(16):2194-2200. doi:10.1093/bioinformatics/btr381.

Magoc T, Salzberg SL. FLASH: fast length adjustment of short reads to improve genome assemblies. Bioinformatics. 2011;27(21):2957-2963. doi:10.1093/bioinformatics/btr507.